

УДК 517.956.3:532.135

МАГНИТОГИДРОДИНАМИЧЕСКОЕ ВИХРЕВОЕ ДВИЖЕНИЕ НЕСЖИМАЕМОЙ ПОЛИМЕРНОЙ ЖИДКОСТИ

© 2021 А. М. Блохин, Р. Е. Семенко^a, А. С. Рудометова^b

*Институт математики им. С. Л. Соболева СО РАН,
просп. Акад. Коптюга, 4, г. Новосибирск 630090, Россия*

E-mails: ^ar.semenko@g.nsu.ru, ^bbush@math.nsc.ru

Поступила в редакцию 22.04.2020 г.; после доработки 22.04.2020 г.;
принята к публикации 15.10.2020 г.

Обсуждается математическая модель, описывающая магнитогидродинамическое движение вязкоупругой полимерной жидкости в цилиндрической приосевой зоне вихревой камеры. Доказывается отсутствие стационарных решений для цилиндрической зоны с фиксированной боковой границей. Рассматриваются решения для приосевой зоны со свободной боковой границей.

Ключевые слова: магнитная гидродинамика, реологическая модель, вихревое движение.

DOI: 10.33048/SIBJIM.2021.24.101

ВВЕДЕНИЕ

Моделирование течений растворов и расплавов полимеров представляет достаточно сложную математическую задачу из-за молекулярной структуры таких сред, состоящих из длинных перепутанных макромолекул. Вместе с тем, широкое применение полимерных материалов в самых разных областях индустрии требует развитой математической теории полимерных сред. За последние пятьдесят лет было предложено большое количество различных моделей динамики полимеров, описывающих движение жидких полимеров с той или иной точностью ([1–4] и другие). Такие модели заметно отличаются как по подходам к их получению, так и по сложности, при этом нельзя сказать, что какая-либо конкретная модель является доминирующей над остальными. Различные режимы течения требуют учёта различных особенностей поведения полимерных жидкостей, что в свою очередь делает разумным применение различных же моделей.

Для моделирования гидродинамики полимерной жидкости мы будем использовать сравнительно новую реологическую модифицированную модель Покровского — Виноградова [5, 6]. По своей природе эта модель является мезоскопической, т. е. определяющие соотношения для неё получены из моделирования движения одной макромолекулы в анизотропной жидкости, имитирующей воздействие на эту молекулу соседних молекул полимера и растворителя. При анализе модели было показано, что она способна отражать характерные свойства жидких полимеров и передавать связь между молекулярной структурой вещества и макроскопическими характеристиками жидкости. При этом уравнения этой модели несколько проще, чем, например, уравнения известных молекулярных статистических моделей рептации [3] или моделей на основе цепей Крамерса [4].

Среди режимов течения, хорошо изученных в рамках классических задач гидродинамики, отдельный интерес представляют течения в вихревых камерах, имеющих применение

в различных технологических областях [7]. В частности, возможно использование вихревых камер в качестве компонента магнитогидродинамического генератора. В связи с этим имеет смысл изучить вихревое движение проводящей полимерной жидкости в магнитном поле. При анализе таких движений область течения обычно разбивают на приосевую и периферийную. Вихревые движения вязких (в том числе и полимерных) жидкостей широко исследовались ранее [8–10]. Также известны работы по магнитной гидродинамике вихревых движений [11]. В нашей работе [12] исследовалось вихревое движение полимерной жидкости в приосевой зоне в рамках модели Покровского — Виноградова. Однако магнитогидродинамическое вихревое течение полимерной жидкости в модели Покровского — Виноградова до сих пор не изучалось.

Настоящая работа посвящена исследованию магнитогидродинамического вихревого движения несжимаемой полимерной жидкости в приосевой зоне, которую мы будем считать цилиндром. Для начала будут сформулированы уравнения магнитной гидродинамики проводящей полимерной жидкости, полученные на основе реологической модифицированной модели Покровского — Виноградова. Далее будут исследованы решения для движения полимерной жидкости в соленоиде, сердечником которого является вышеупомянутая цилиндрическая приосевая зона. В частности, проиллюстрировано, что в отличие от результатов работы [12], стационарных режимов течения с приосевой цилиндрической зоной в рамках выбранной модели не существует. Наконец, приведён анализ решений модели для случая приосевой зоны со свободной боковой границей.

1. ПРЕДВАРИТЕЛЬНЫЕ СВЕДЕНИЯ

Следуя монографиям [6, 13–16] и работе [17], сформулируем математическую модель, которая описывает магнитогидродинамические течения несжимаемой полимерной жидкости. В цилиндрической системе координат r , φ , z и в обезразмеренном виде (сам процесс обезразмеривания аналогичен тому, который описан в [12, 17, 18]) упомянутая математическая модель может быть записана в виде

$$\operatorname{div} \mathbf{u} = \frac{1}{r} \frac{\partial(ru)}{\partial r} + \frac{1}{r} \frac{\partial v}{\partial \varphi} + \frac{\partial w}{\partial z} = 0, \quad (1.1)$$

$$\operatorname{div} \mathbf{H} = \frac{1}{r} \frac{\partial(rL)}{\partial r} + \frac{1}{r} \frac{\partial M}{\partial \varphi} + \frac{\partial N}{\partial z} = 0, \quad (1.2)$$

$$\begin{aligned} \frac{du}{dt} - \frac{v^2}{r} + \frac{\partial \mathcal{P}}{\partial r} = \frac{1}{\operatorname{Re}} \left(\frac{\partial a_{rr}}{\partial r} + \frac{1}{r} \frac{\partial a_{r\varphi}}{\partial \varphi} + \frac{\partial a_{rz}}{\partial z} + \frac{a_{rr} - a_{\varphi\varphi}}{r} \right) \\ + \sigma_m \left(L \frac{\partial L}{\partial r} + \frac{M}{r} \frac{\partial L}{\partial \varphi} + N \frac{\partial L}{\partial z} - \frac{M^2}{r} \right), \end{aligned} \quad (1.3)$$

$$\begin{aligned} \frac{dv}{dt} + \frac{uv}{r} + \frac{1}{r} \frac{\partial \mathcal{P}}{\partial \varphi} = \frac{1}{\operatorname{Re}} \left(\frac{\partial a_{r\varphi}}{\partial r} + \frac{1}{r} \frac{\partial a_{\varphi\varphi}}{\partial \varphi} + \frac{\partial a_{\varphi z}}{\partial z} + \frac{2a_{r\varphi}}{r} \right) \\ + \sigma_m \left(L \frac{\partial M}{\partial r} + \frac{M}{r} \frac{\partial M}{\partial \varphi} + N \frac{\partial M}{\partial z} - \frac{LM}{r} \right), \end{aligned} \quad (1.4)$$

$$\frac{dw}{dt} + \frac{\partial \mathcal{P}}{\partial z} = \frac{1}{\operatorname{Re}} \left(\frac{\partial a_{rz}}{\partial r} + \frac{1}{r} \frac{\partial a_{\varphi z}}{\partial \varphi} + \frac{\partial a_{zz}}{\partial z} + \frac{a_{rz}}{r} \right) + \sigma_m \left(L \frac{\partial N}{\partial r} + \frac{M}{r} \frac{\partial N}{\partial \varphi} + N \frac{\partial N}{\partial z} \right), \quad (1.5)$$

$$\frac{dL}{dt} - \left(L \frac{\partial u}{\partial r} + \frac{M}{r} \frac{\partial u}{\partial \varphi} + N \frac{\partial u}{\partial z} \right) - b_m \left(\Delta_{r,\varphi,z} L + \frac{2}{r^2} \frac{\partial M}{\partial \varphi} - \frac{L}{r^2} \right) = 0, \quad (1.6)$$

$$\frac{dM}{dt} + \frac{vL}{r} - \left(L \frac{\partial v}{\partial r} + \frac{M}{r} \frac{\partial v}{\partial \varphi} + N \frac{\partial v}{\partial z} + \frac{Mu}{r} \right) - b_m \left(\Delta_{r,\varphi,z} M + \frac{2}{r^2} \frac{\partial L}{\partial \varphi} - \frac{M}{r^2} \right) = 0, \quad (1.7)$$

$$\frac{dN}{dt} - \left(L \frac{\partial w}{\partial r} + \frac{M}{r} \frac{\partial w}{\partial \varphi} + N \frac{\partial w}{\partial z} \right) - b_m \Delta_{r,\varphi,z} N = 0, \quad (1.8)$$

$$\frac{da_{rr}}{dt} - 2 \left(A_r \frac{\partial u}{\partial r} + \frac{a_{r\varphi}}{r} \frac{\partial u}{\partial \varphi} + a_{rz} \frac{\partial u}{\partial z} \right) + \mathcal{L}_{rr} = 0, \quad (1.9)$$

$$\frac{da_{\varphi\varphi}}{dt} + 2 \left(\frac{v}{r} - \frac{\partial v}{\partial r} \right) a_{r\varphi} - 2 \left(\frac{1}{r} \left(u + \frac{\partial v}{\partial \varphi} \right) A_\varphi + a_{\varphi z} \frac{\partial v}{\partial z} \right) + \mathcal{L}_{\varphi\varphi} = 0, \quad (1.10)$$

$$\frac{da_{zz}}{dt} - 2 \left(a_{rz} \frac{\partial w}{\partial r} + \frac{a_{\varphi z}}{r} \frac{\partial w}{\partial \varphi} + A_z \frac{\partial w}{\partial z} \right) + \mathcal{L}_{zz} = 0, \quad (1.11)$$

$$\frac{da_{r\varphi}}{dt} + \left(\frac{v}{r} - \frac{\partial v}{\partial r} \right) A_r + \left(a_{r\varphi} \frac{\partial w}{\partial z} - a_{rz} \frac{\partial v}{\partial z} - \frac{A_\varphi}{r} \frac{\partial u}{\partial \varphi} - a_{\varphi z} \frac{\partial u}{\partial z} \right) + \mathcal{L}_{r\varphi} = 0, \quad (1.12)$$

$$\frac{da_{rz}}{dt} - a_{rz} \left(\frac{\partial u}{\partial r} + \frac{\partial w}{\partial z} \right) - \left(A_r \frac{\partial w}{\partial r} + \frac{a_{r\varphi}}{r} \frac{\partial w}{\partial \varphi} + \frac{a_{\varphi z}}{r} \frac{\partial u}{\partial \varphi} + A_z \frac{\partial u}{\partial z} \right) + \mathcal{L}_{rz} = 0, \quad (1.13)$$

$$\frac{da_{\varphi z}}{dt} + \left(\frac{v}{r} - \frac{\partial v}{\partial r} \right) a_{rz} - \left(a_{\varphi z} \frac{\partial u}{\partial r} + A_z \frac{\partial v}{\partial z} + a_{r\varphi} \frac{\partial w}{\partial r} + \frac{A_\varphi}{r} \frac{\partial w}{\partial \varphi} \right) + \mathcal{L}_{\varphi z} = 0. \quad (1.14)$$

Здесь t — время; u, v, w, L, M, N — компоненты вектора скорости \mathbf{u} и вектора напряжённости магнитного поля \mathbf{H} в цилиндрической системе координат r, φ, z ; $\mathcal{P} = p + \sigma_m \|\mathbf{H}\|^2/2$, p — давление, $\|\mathbf{H}\|^2 = (\mathbf{H}, \mathbf{H})$, $a_{rr}, \dots, a_{\varphi z}$ — компоненты симметрического тензора анизотропии II второго ранга;

$$\begin{aligned} \mathcal{L}_{rr} &= K_I a_{rr} + \beta \|\mathbf{a}_r\|^2, & \mathcal{L}_{\varphi\varphi} &= K_I a_{\varphi\varphi} + \beta l \|\mathbf{a}_\varphi\|^2, & \mathcal{L}_{zz} &= K_I a_{zz} + \beta \|\mathbf{a}_z\|^2, \\ \mathcal{L}_{r\varphi} &= K_I a_{r\varphi} + \beta (\mathbf{a}_r, \mathbf{a}_\varphi), & \mathcal{L}_{rz} &= K_I a_{rz} + \beta (\mathbf{a}_r, \mathbf{a}_z), & \mathcal{L}_{\varphi z} &= K_I a_{\varphi z} + \beta (\mathbf{a}_\varphi, \mathbf{a}_z), \\ \mathbf{a}_r &= (a_{rr}, a_{r\varphi}, a_{rz}), & \mathbf{a}_\varphi &= (a_{r\varphi}, a_{\varphi\varphi}, a_{\varphi z}), & \mathbf{a}_z &= (a_{rz}, a_{\varphi z}, a_{zz}), \\ A_r &= a_{rr} + W^{-1}, & A_\varphi &= a_{\varphi\varphi} + W^{-1}, & A_z &= a_{zz} + W^{-1}, \\ K_I &= W^{-1} + \bar{k}I/3, & I &= a_{rr} + a_{\varphi\varphi} + a_{zz}, & \bar{k} &= k - \beta, \end{aligned}$$

$k, \beta, 0 < \beta < 1$, — феноменологические параметры реологической модели (см. [6]), $\text{Re} = (\rho u_H l) / \eta_0$ — число Рейнольдса, $W = (\tau_0 u_H) / l$ — число Вайсенберга, $\rho (= \text{const})$ — плотность среды, η_0, τ_0 — начальные значения сдвиговой вязкости и времени релаксации (см. [6]), l — характерная длина, u_H — характерная скорость, $\sigma_m = (\mu \mu_0 H_0^2) / (\rho u_H^2)$ — коэффициент магнитного давления, $b_m = 1 / \text{Re}_m$, $\text{Re}_m = \sigma \mu \mu_0 u_H l$ — магнитное число Рейнольдса, μ_0 — магнитная проницаемость в вакууме, μ — магнитная проницаемость, σ — электропроводность среды, $\Delta_{r,\varphi,z} = \frac{\partial^2}{\partial r^2} + \frac{1}{r^2} \frac{\partial^2}{\partial \varphi^2} + \frac{\partial^2}{\partial z^2} + \frac{1}{r} \frac{\partial}{\partial r}$ — оператор Лапласа, $\frac{d}{dt} = \frac{\partial}{\partial t} + u \frac{\partial}{\partial r} + \frac{v}{r} \frac{\partial}{\partial \varphi} + w \frac{\partial}{\partial z}$.

Система (1.1)–(1.14) записана в безразмерном виде: переменные $t, r, z, u, v, w, p, L, M, N, a_{rr}, \dots, a_{\varphi z}$ отнесены соответственно к $l/u_H, l, u_H, \rho u_H^2, H_0, W/3$, где H_0 — характерная величина напряжённости магнитного поля.

Замечание 1.1. Имея в виду дальнейшее применение системы (1.1)–(1.14) для изучения магнитогидродинамических вихревых движений несжимаемой полимерной жидкости в приосевой зоне, будем считать эту зону цилиндром радиуса r_0 , т. е. $l = r_0$ (см. рис. 1).

Замечание 1.2. Магнитогидродинамические уравнения (1.1)–(1.14) выведены с привлечением системы уравнений Максвелла [13, 15]. Предполагая наличие малого электромагнитного поля, вектор магнитной индукции \mathbf{B} мы берём в виде $\mathbf{B} = \mu \mu_0 \mathbf{H} = (1 + \chi) \mu_0 \mathbf{H}$, где χ — магнитная восприимчивость, причём $\chi = \chi_0 / Y$, χ_0 — магнитная восприимчивость при комнатной температуре $T = T_0 (= 300 \text{ К})$, $Y = T / T_0$, T — температура (см. [19, 20]).

Полагая, что магнитогидродинамическое течение несжимаемой полимерной жидкости

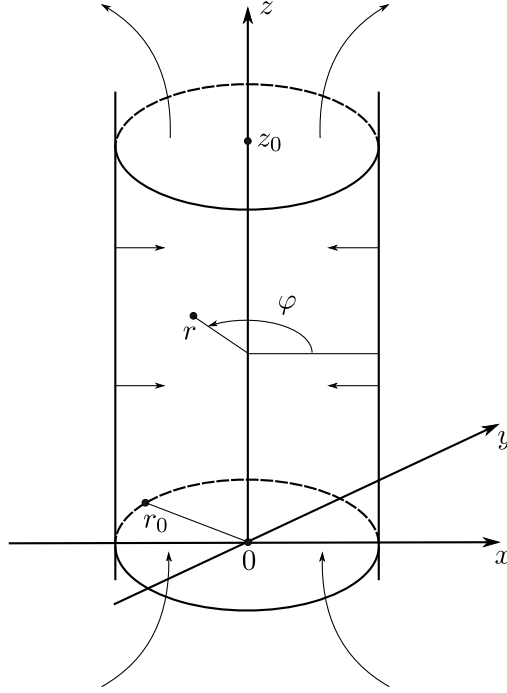


Рис. 1. Приосевая вихревая зона

в приосевой зоне описывается с помощью формул

$$\begin{aligned}
 u &= \hat{u}(t, r), \quad v = \hat{v}(t, r), \quad w = \hat{w}(t) + \hat{\omega}z, \quad \hat{\omega} = \text{const}, \\
 a_{rr}, \dots, a_{\varphi z} &= \hat{a}_{rr}, \dots, \hat{a}_{\varphi z}(t, r), \\
 p &= \pi(t, r) - q_1(t)z + q_2 \frac{z^2}{2}, \quad q_2 = \text{const} < 0, \\
 L &= \hat{L}(t, r), \quad M = \hat{M}(t, r), \quad N = \hat{H}(t) + \hat{h}(t)z,
 \end{aligned} \tag{1.15}$$

получим из системы (1.1)–(1.14) набор соотношений для определения функций \hat{u} , \hat{v} , \hat{w} , $\hat{a}_{rr}, \dots, \hat{a}_{\varphi z}$, π , \hat{L} , \hat{M} , постоянной $\hat{\omega}$:

$$\hat{D}G = \frac{2}{\text{Re}} \frac{\partial \hat{A}_{r\varphi}}{\partial \sigma} + 2\sigma_m \mathcal{L}\zeta_\sigma, \tag{1.16}$$

$$\hat{w}_t + \hat{\omega}\hat{w} - q_1 = \frac{2}{\text{Re}} \frac{\partial \hat{A}_{rz}}{\partial \sigma}, \tag{1.17}$$

$$\hat{\omega}^2 + q_2 = 0, \quad \text{т. е.} \quad \hat{\omega} = \pm \sqrt{-q_2}, \tag{1.18}$$

$$\hat{D}\hat{a}_{rr} + \hat{\omega}\hat{A}_r + \hat{\mathcal{L}}_{rr} = 0, \tag{1.19}$$

$$\hat{D}\hat{a}_{\varphi\varphi} + 4\left(G - \sigma \frac{\partial G}{\partial \sigma}\right) \frac{\hat{A}_{r\varphi}}{\sigma^2} + \hat{\omega}\hat{A}_\varphi + \hat{\mathcal{L}}_{\varphi\varphi} = 0, \tag{1.20}$$

$$\hat{D}\hat{a}_{zz} + \hat{\mathcal{L}}_{zz} = 0, \tag{1.21}$$

$$\hat{D}\hat{A}_{r\varphi} + 2\left(G - \sigma \frac{\partial G}{\partial \sigma}\right) \hat{A}_r + 2\hat{\omega}\hat{A}_{r\varphi} + \sigma \hat{\mathcal{L}}_{r\varphi} = 0, \tag{1.22}$$

$$\hat{D}\hat{A}_{rz} + r\hat{\mathcal{L}}_{rz} = 0, \tag{1.23}$$

$$\hat{D}\hat{A}_{\varphi z} + 2\left(G - \sigma \frac{\partial G}{\partial \sigma}\right) \frac{\hat{A}_{rz}}{\sigma} + \hat{\omega}\hat{A}_{\varphi z} + r\hat{\mathcal{L}}_{\varphi z} = 0, \tag{1.24}$$

$$2\sigma \frac{\partial}{\partial \sigma} \left(\pi + \sigma_m \frac{\zeta^2}{2\sigma} - \frac{\hat{a}_{rr}}{\text{Re}} \right) = \frac{G^2 + F^2 - \sigma_m \zeta^2}{\sigma} - \widehat{D}F + \frac{\hat{a}_{rr} - \hat{a}_{\varphi\varphi}}{\text{Re}}, \quad (1.25)$$

$$\widehat{D}\zeta + 2 \frac{G\mathcal{L} - \zeta F}{\sigma} - 4\sigma b_m \frac{\partial^2 \zeta}{\partial \sigma^2} = 0, \quad (1.26)$$

$$\hat{h} = \text{const} (= \widehat{\omega}), \quad (1.27)$$

$$\widehat{H}'(t) - \widehat{\omega} \widehat{H}(t) + \widehat{\omega} \widehat{\omega}(t) = 0.$$

Здесь

$$\widehat{D} = \frac{\partial}{\partial t} + 2F \frac{\partial}{\partial \sigma}, \quad \sigma = r^2, \quad 0 \leq \sigma \leq 1, \quad F = \hat{u}r = -\frac{\widehat{\omega}}{2}\sigma, \quad G = \hat{v}r, \quad \widehat{D}F = \sigma \frac{\widehat{\omega}^2}{2},$$

$$\hat{A}_{r\varphi} = \sigma \hat{a}_{r\varphi}, \quad \hat{A}_{rz} = \sigma \hat{a}_{rz}, \quad \hat{A}_{\varphi z} = r \hat{a}_{\varphi z},$$

$$\hat{\mathcal{L}}_{rr} = K_{\hat{I}} \hat{a}_{rr} + \beta \|\hat{\mathbf{a}}_r\|^2 \text{ и т. д.}, \quad K_{\hat{I}} = W^{-1} + \frac{\bar{k}}{3} \hat{I}, \quad \hat{I} = \hat{a}_{rr} + \hat{a}_{\varphi\varphi} + \hat{a}_{zz},$$

$$\hat{A}_r = \hat{a}_{rr} + W^{-1}, \quad \hat{A}_\varphi = \hat{a}_{\varphi\varphi} + W^{-1}, \quad \mathcal{L} = r \hat{L} = -\frac{\widehat{\omega}}{2}\sigma, \quad \zeta = r \widehat{M}.$$

Замечание 1.3. Представления (1.15) навеяны формулами, которые приняты при изучении вихревых движений вязкой несжимаемой жидкости в приосевой зоне (см., например, [21, 22] и список литературы в них).

Замечание 1.4. Решения системы (1.16)–(1.27) будем искать при условии, что задано распределение давления p вдоль оси $r = 0$: $p|_{r=0} = \pi(t, 0) - q_1(t)z + q_2 z^2/2$.

Потребуем, чтобы градиент давления (см. (1.15)) на сечении $z = 0$ приосевого цилиндра удовлетворял условию $\left. \frac{\partial p}{\partial z} \right|_{z=0} = -q_1 < 0$.

Функция $\pi(t, \sigma)$ находится из (1.25):

$$\begin{aligned} \pi(t, \sigma) = & \pi(t, 0) + \frac{\hat{a}_{rr}(t, \sigma) - \hat{a}_{rr}(t, 0)}{\text{Re}} - \sigma_m \frac{\widehat{M}^2(t, \sigma) - \widehat{M}^2(t, 0)}{2} \\ & + \frac{1}{2} \int_0^\sigma \left(\frac{G^2 + F^2 - \sigma_m \zeta^2}{s^2}(t, s) - \frac{\widehat{\omega}^2}{2} + \frac{(\hat{a}_{rr} - \hat{a}_{\varphi\varphi})(t, s)}{s \text{Re}} \right) ds, \quad t > 0, \quad 0 < \sigma < 1. \end{aligned}$$

Заметим, что формула для давления p в (1.15) записана также в безразмерном виде: функция π отнесена к ρu_H^2 , q_1 к $\rho u_H^2/l$, q_2 к $\rho u_H^2/l^2$.

Замечание 1.5. Решения системы (1.16)–(1.27) будем искать в классе ограниченных функций при $0 \leq \sigma \leq 1$, $0 \leq t \leq t^* < \infty$. Будем также полагать, что $G(t, 0) = \zeta(t, 0) = 0$.

Не нарушая общности, считаем, что вихревая зона при $t = 0$, $0 \leq \sigma \leq 1$, и граница $\sigma = 1$, $0 < t \leq t^* < \infty$, свободны от напряжений: $\hat{a}_{rr}(0, \sigma), \dots, \hat{a}_{\varphi z}(0, \sigma) \equiv 0$, $\hat{a}_{rr}(t, 1), \dots, \hat{a}_{\varphi z}(t, 1) \equiv 0$.

Далее мы будем полагать, что $\widehat{\omega}|_{t=0} = 1$ (за счёт соответствующего выбора характерного параметра u_H), $\hat{a}_{zz}(t, \sigma) = \hat{a}_{rz}(t, \sigma) = \hat{a}_{\varphi z}(t, \sigma) \equiv 0$, $t \geq 0$, $0 \leq \sigma \leq 1$. Тогда система (1.16)–(1.27) переписется в виде

$$\widehat{\omega}(t) = e^{-\widehat{\omega}t} + e^{-\widehat{\omega}t} \int_0^t e^{\widehat{\omega}\tau} q_1(\tau) d\tau, \quad (1.28)$$

$$\widehat{D}(e^{\widehat{\omega}t} \hat{A}_r) + e^{\widehat{\omega}t} \hat{\mathcal{L}}_{rr} = 0, \quad (1.29)$$

$$\widehat{D}(e^{\widehat{\omega}t} \widehat{A}_\varphi) + 4 \left(G - \sigma \frac{\partial G}{\partial \sigma} \right) \frac{e^{\widehat{\omega}t} \widehat{A}_{r\varphi}}{\sigma^2} + e^{\widehat{\omega}t} \widehat{\mathcal{L}}_{\varphi\varphi} = 0, \quad (1.30)$$

$$\widehat{D}G - \frac{2}{\text{Re}} \frac{\partial \widehat{A}_{r\varphi}}{\partial \sigma} + \sigma_m \widehat{\omega} \sigma \frac{\partial \zeta}{\partial \sigma} = 0, \quad (1.31)$$

$$\widehat{D} \widehat{A}_{r\varphi} + 2 \widehat{A}_r \left(G - \sigma \frac{\partial G}{\partial \sigma} \right) + 2 \widehat{\omega} \widehat{A}_{r\varphi} + \sigma \widehat{\mathcal{L}}_{r\varphi} = 0, \quad (1.32)$$

$$\widehat{D}\zeta + \widehat{\omega}\zeta - \widehat{\omega}G - 4b_m \sigma \frac{\partial^2 \zeta}{\partial \sigma^2} = 0, \quad (1.33)$$

$$\widehat{H}(t) = e^{\widehat{\omega}t} \mathcal{H} + \widehat{\omega} \left(\frac{e^{-\widehat{\omega}t} - e^{\widehat{\omega}t}}{2\widehat{\omega}} - e^{\widehat{\omega}t} \int_0^\tau e^{-2\widehat{\omega}\tau} \int_0^\tau e^{\widehat{\omega}s} q_1(s) ds d\tau \right) = e^{\widehat{\omega}t} \mathcal{H} + \widehat{\omega} \Phi(t) \quad \Phi(0) = 0. \quad (1.34)$$

Здесь \mathcal{H} — некоторая постоянная.

2. ПОИСК РЕШЕНИЙ ЗАДАЧИ

Прежде чем мы займёмся конструированием решений уравнений (1.29)–(1.33), опишем соленоид, сердечником которого является рассматриваемая приосевая вихревая зона. (Предполагаем, что приосевая вихревая зона — магнетик с малой магнитной восприимчивостью χ_0 ; см. замечание 1.2.) Предположим, что катушка-соленоид характеризуется величиной n — числом витков обмотки на единицу длины m .

Пусть через катушку пропущен переменный электрический ток проводимости с силой тока $\widehat{I}(t)$ (см. рис. 2).

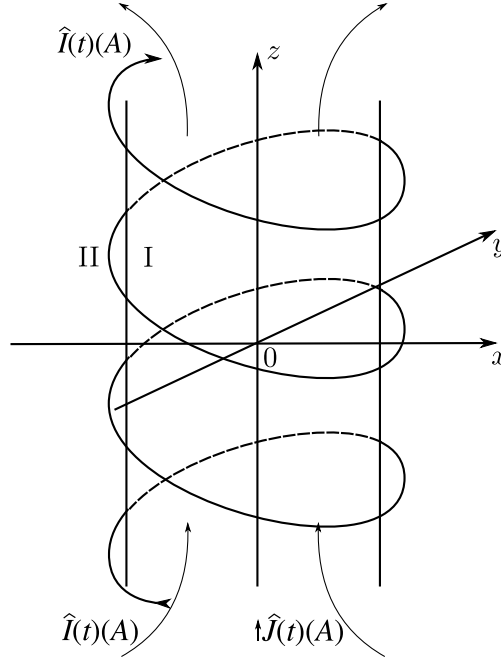


Рис. 2. Катушка-соленоид с сердечником — приосевой зоной

Следуя [20, 23], найдём агрегат $\widehat{H}(t)$ (см. разложения (1.15)), который характеризует продольную компоненту напряжённости магнитного поля в сердечнике — приосевой вихревой зоне:

$$\widehat{H}(t) = n \widehat{I}(t)(A/m), \quad (2.1)$$

а безразмерное значение $\widehat{H}(t)$ равно

$$\widehat{H}(t) = n \widehat{I}(t)/H_0. \quad (2.2)$$

Сравнивая (2.1) с (1.34), получим

$$\hat{I}(t) = e^{\hat{\omega}t} \frac{\mathcal{H}H_0}{n} + \hat{\omega} \frac{H_0}{n} \Phi(t), \quad (2.3)$$

причём

$$\mathcal{H} = \hat{A}n/H_0 = \hat{H}(0), \quad \hat{A} = \hat{I}(0). \quad (2.4)$$

Из (2.4) следует, что в качестве характерного параметра H_0 можно взять $H_0 = \hat{A}n/\mathcal{H}$. Тогда формула (2.3) примет вид $\hat{I}(t) = \hat{A}(e^{\hat{\omega}t} + \hat{\omega}\Phi(t)/\mathcal{H})$. Заметим также, что в формуле (2.1) в скобках приведена размерность \hat{H} в единицах СИ [20]. Следовательно, компонента \hat{N} напряжённости магнитного поля равна (см. (1.27) и разложения (1.15)):

$$\hat{N} = \begin{cases} \hat{\omega}z & \text{вне сердечника,} \\ \hat{H}(t) + \hat{\omega}z & \text{внутри сердечника,} \end{cases} \quad (2.5)$$

а на поверхности сердечника $r = 1$ (на границе раздела внешнего магнитного поля и магнитного поля внутри сердечника) выполняется известное условие (см. [24]) $\hat{N}_1 - \hat{N}_2 = \hat{n}\hat{I}(t)/H_0$, где $\hat{N}_1 = \hat{N}|_{r \rightarrow 1-0}$, $\hat{N}_2 = \hat{N}|_{r \rightarrow 1+0}$ (см. (2.5) и рис. 2).

Замечание 2.1. Мы предполагаем, что внешняя область II (см. рис. 2) — тоже магнетик с малой магнитной восприимчивостью χ_0 . Следовательно, как в области I, так и в области II мы пренебрегаем намагниченностью (см. [24]).

Замечание 2.2. В силу соотношения $\hat{L} = -\hat{\omega}r/2$, которое следует из уравнения $\operatorname{div} \mathbf{H} = 0$ (см. (1.2) и формулу (2.5)), мы получаем, что как в области I, так и в области II справедливо соотношение $\mathcal{L} = r\hat{L} = -\frac{\hat{\omega}}{2}\sigma$, $r > 0$, при этом очевидно, что $\hat{L}_2 = \hat{L}_1$, где $\hat{L}_1 = \hat{L}|_{r \rightarrow 1-0}$, $\hat{L}_2 = \hat{L}|_{r \rightarrow 1+0}$.

Перейдём теперь к определению компоненты \hat{M} напряжённости магнитного поля. Пусть через сердечник (приосевую зону) пропущен переменный электрический ток проводимости с силой тока $\hat{J}(t)$ (см. рис. 2). Тогда, следуя [23], найдём безразмерную компоненту $\hat{M}(t, r)$ внутри сердечника ($r < 1$):

$$\hat{M}(t, r) = \frac{\hat{J}(t)}{2\pi r_0 H_0} r \quad (2.6)$$

и, соответственно,

$$\varsigma(t, \sigma) = \frac{\hat{J}(t)}{2\pi r_0 H_0} \sigma. \quad (2.7)$$

Вне сердечника, т. е. в области II, безразмерная компонента $\hat{M}(t, r)$ вычисляется следующим образом (см. [23]):

$$\hat{M}(t, r) = \frac{\hat{J}(t)}{2\pi r_0 H_0} \frac{1}{r}, \quad r > 1. \quad (2.8)$$

Замечание 2.3. В случае переменного тока проводимости $\hat{J}(t)$ мы также должны учитывать внутри сердечника наличие тока смещения (см. [23]). Однако в данной работе мы будем считать ток смещения малым.

Замечание 2.4. В областях I и II компоненты \hat{L} , \hat{M} , \hat{N} напряжённости магнитного поля \mathbf{H} удовлетворяют условию $\operatorname{div} \mathbf{H} = 0$, в области II — условию $\operatorname{rot} \mathbf{H} = 0$, а в области I — условию $\operatorname{rot} \mathbf{H} = \hat{J}(t)\mathbf{e}_z/(\pi r_0 H_0)$.

Вернёмся теперь к уравнениям (1.29)–(1.33). С учётом (2.7) из (1.33) получаем

$$G(t, \sigma) = \frac{\hat{J}'(t)\sigma}{2\pi r_0 H_0 \hat{\omega}}. \quad (2.9)$$

Тогда уравнение (1.32) примет вид

$$\widehat{D}\widehat{A}_{r\varphi} + \widehat{A}_{r\varphi} \left(2\widehat{\omega} + W^{-1} + \frac{\bar{k} + 3\beta}{3}(\widehat{a}_{rr} + \widehat{a}_{\varphi\varphi}) \right) = 0.$$

Следовательно, в силу замечания 1.5 можно полагать

$$\widehat{A}_{r\varphi} \equiv 0, \quad t \geq 0, \quad 0 \leq \sigma \leq 1. \quad (2.10)$$

С учётом (2.9) и (2.10) из (1.31) получаем

$$\widehat{j}'' - \widehat{\omega}\widehat{j}' + \sigma_m\widehat{\omega}^2\widehat{j} = 0, \quad (2.11)$$

т. е.

$$\widehat{j}(t) = \widehat{A}e^{\widehat{\omega}t/2} \sin(\sqrt{\sigma_m - 1/4}t + \widehat{\varphi}), \quad \sigma_m > 1/4, \quad \widehat{A}, \widehat{\varphi} - \text{некоторые постоянные.} \quad (2.12)$$

Замечание 2.5. В силу (2.9) (или (2.10)) уравнения (1.29), (1.30) можно переписать в виде системы

$$\widehat{D}(e^{\widehat{\lambda}_0 t} \mathbf{X}) = e^{\widehat{\lambda}_0 t} \left(\frac{\bar{k}}{3} \kappa_0 \mathbf{X} - \mathcal{F} + \widehat{\lambda}_1 \kappa_1 \right), \quad (2.13)$$

где

$$\mathbf{X} = \begin{pmatrix} X_r \\ X_\varphi \end{pmatrix} = W \begin{pmatrix} \widehat{A}_r \\ \widehat{A}_\varphi \end{pmatrix}, \quad \widehat{\lambda}_0 = \widehat{\omega} + W^{-1}(1 - k - \beta), \quad \kappa_0 = \begin{pmatrix} 0 & 1 \\ 1 & 0 \end{pmatrix},$$

$$\mathcal{F} = \begin{pmatrix} \widehat{\lambda}_2 X_r^2 + \bar{k} X_r X_\varphi / 3 \\ \widehat{\lambda}_2 X_\varphi^2 + \bar{k} X_r X_\varphi / 3 \end{pmatrix}, \quad \kappa_1 = \begin{pmatrix} 1 \\ 1 \end{pmatrix}, \quad \widehat{\lambda}_1 = 1 - \frac{2k + \beta}{3}, \quad \widehat{\lambda}_2 = \frac{k + 2\beta}{3}.$$

Пусть $\widehat{\omega} > 0$ (см. разд. 1). Интегрируя систему (2.13) вдоль характеристик (см. также [12])

$$\sigma e^{\widehat{\omega}t} = \begin{cases} \sigma_0, & 0 \leq \sigma_0 \leq 1, & \text{если } \sigma e^{\widehat{\omega}t} \leq 1, \\ e^{\widehat{\omega}t_0}, & t_0 > 1, & \text{если } \sigma e^{\widehat{\omega}t} > 1, \end{cases} \quad (2.14)$$

получим следующую систему интегральных уравнений:

$$e^{\widehat{\lambda}_0 t} \mathbf{X}(t, \sigma) = \left(1 + \frac{\widehat{\lambda}_1}{\widehat{\lambda}_0} (e^{\widehat{\lambda}_0 t} - 1) \right) \kappa_1 + \int_0^t e^{\widehat{\lambda}_0 \tau} \left(\frac{\bar{k}}{3} \kappa_0 \mathbf{X}(\tau, s) - \mathcal{F}(\tau, s) \right) d\tau, \quad s = \sigma_0 e^{-\widehat{\omega}\tau}, \quad (2.15)$$

$$e^{\widehat{\lambda}_0 t} \mathbf{X}(t, \sigma) = e^{\widehat{\lambda}_0 t_0} \left(1 + \frac{\widehat{\lambda}_1}{\widehat{\lambda}_0} (e^{\widehat{\lambda}_0(t-t_0)} - 1) \right) \kappa_1 + \int_{t_0}^t e^{\widehat{\lambda}_0 \tau} \left(\frac{\bar{k}}{3} \kappa_0 \mathbf{X}(\tau, s) - \mathcal{F}(\tau, s) \right) d\tau, \quad s = e^{-\widehat{\omega}(t_0 - \tau)}.$$

Замечание 2.6. В стационарном случае система (1.28)–(1.33) примет вид ($q_1 = \text{const} > 0$, $\widehat{\omega} > 0$)

$$\widehat{w} = q_1 / \widehat{\omega}, \quad \sigma \widehat{A}'_r = \frac{1}{\widehat{\omega}} \widehat{\mathcal{L}}_{rr} + \widehat{A}_r, \quad \sigma \widehat{A}'_\varphi = \frac{1}{\widehat{\omega}} \widehat{\mathcal{L}}_{\varphi\varphi} + \widehat{A}_\varphi + 4(G - \sigma G') \frac{\widehat{A}_{r\varphi}}{\sigma^2 \widehat{\omega}},$$

$$\frac{2}{\text{Re} \widehat{\omega} \sigma} \widehat{A}'_{r\varphi} = \sigma_m s' - G', \quad (2.16)$$

$$\sigma \widehat{A}'_{r\varphi} = 2\widehat{A}_r \frac{(G - \sigma G')}{\widehat{\omega}} + 2\widehat{A}_{r\varphi} + \frac{\sigma \widehat{\mathcal{L}}_{r\varphi}}{\widehat{\omega}}, \quad (2.17)$$

$$\sigma\zeta' = \zeta - G - 4\frac{b_m\sigma}{\hat{\omega}}\zeta'', \quad (2.18)$$

где $\hat{A}'_r = \frac{d\hat{A}_r}{d\sigma}$ и т. д.

С учётом (2.7) в стационарном случае из (2.18) следует

$$G(\sigma) \equiv 0, \quad 0 \leq \sigma \leq 1, \quad (2.19)$$

т. е. (см. (2.17) и (2.16))

$$\hat{A}_{r\varphi}(\sigma) \equiv 0, \quad \hat{J} = 0. \quad (2.20)$$

Формулы (2.19), (2.20) означают, что в стационарном случае не существует магнитогидродинамической приосевой вихревой зоны (в отличие от работы [12], в которой существование стационарной приосевой вихревой зоны для несжимаемой полимерной жидкости установлено).

Замечание 2.7. При $0 < \sigma_m \leq 1/4$ решения уравнения (2.11) будут иметь вид

$$\hat{J}(t) = \begin{cases} C_1 e^{\hat{\omega}l_+ t/2} + C_2 e^{\hat{\omega}l_- t/2}, & 0 < \sigma_m < 1/4, \\ e^{\hat{\omega}t/2}(C_1 + tC_2), & \sigma_m = 1/4. \end{cases}$$

Здесь $l_{\pm} = 1 \pm \sqrt{1 - 4\sigma_m}$, $C_{1,2}$ — некоторые постоянные. Следовательно, магнитогидродинамические приосевые вихревые зоны могут существовать и при неизменном направлении тока проводимости (см. рис. 2).

Замечание 2.8. В силу замечания 1.5 из (2.15) следует $a_{rr}(t, \sigma) = a_{\varphi\varphi}(t, \sigma)$, $t \geq 0$, $0 \leq \sigma \leq 1$.

3. СЛУЧАЙ СВОБОДНОЙ ВНЕШНЕЙ ГРАНИЦЫ ПРИОСЕВОЙ ЗОНЫ

Пусть приосевая вихревая зона — цилиндр, ограниченный свободной поверхностью $r = R(t)$, $R(0) = 1$. Поскольку $R_t = \hat{u}(t, R(t)) = -\frac{\hat{\omega}}{2}R(t)$, то поверхность

$$R^2(t)e^{\hat{\omega}t} = 1, \quad \hat{\omega} > 0, \quad (3.1)$$

является характеристикой этого уравнения (см. (2.14), $\sigma_0 = 1$). Следовательно, в силу (2.15) (см. также замечание 1.5) будем иметь

$$e^{\lambda_0 t} \mathbf{X}(t, e^{-\hat{\omega}t}) = \left(1 + \frac{\hat{\lambda}_1}{\hat{\lambda}_0}(e^{\lambda_0 t} - 1)\right) \boldsymbol{\kappa}_1 + \int_0^t e^{\lambda_0 \tau} \left(\frac{\bar{k}}{3} \boldsymbol{\kappa}_0 \mathbf{X}(\tau, e^{-\hat{\omega}\tau}) - \mathcal{F}(\tau, e^{-\hat{\omega}\tau})\right) d\tau, \quad (3.2)$$

$$\hat{a}_{r\varphi}(t, e^{-\hat{\omega}t}) = 0 \quad \hat{a}_{r\varphi}(0, 1) = 0.$$

Замечание 3.1. Из (3.2) следует (см. также замечание 2.8) $\hat{a}_{rr}(t, e^{-\hat{\omega}t}) = \hat{a}_{\varphi\varphi}(t, e^{-\hat{\omega}t})$, поскольку в силу замечания 1.5 имеем $\hat{a}_{rr}(0, 1) = \hat{a}_{\varphi\varphi}(0, 1)$.

С учётом (2.6), (2.8), (2.12) будем иметь

$$\begin{aligned} \widehat{M}(t, e^{-\hat{\omega}t}) &= \frac{\hat{J}(t)e^{\hat{\omega}t/2}}{2\pi r_0 H_0}, \\ \hat{J}(t)e^{\hat{\omega}t/2} &= \hat{A}e^{\hat{\omega}t_0} \sin(\hat{\omega}\sqrt{\sigma_m - 1/4}t + \hat{\varphi}), \\ \widehat{M}(t, \sigma) &= \frac{\hat{J}(t)}{2\pi r_0 H_0} \frac{1}{\sigma^{1/2}}, \quad \sigma > e^{-\hat{\omega}t}, \\ \hat{N} &= \hat{H}(t) + \hat{\omega}z, \quad 1 > \sigma > 0, \quad \hat{N} = \hat{\omega}z, \quad \sigma > 1. \end{aligned}$$

Замечание 3.2. При $r > 0$ компоненты \hat{L} , \hat{M} , \hat{N} напряжённости магнитного поля \mathbf{H} удовлетворяют условию $\operatorname{div} \mathbf{H} = 0$, при $\sigma > e^{-\hat{\omega}t}$ — условию $\operatorname{rot} \mathbf{H} = 0$, а при $0 < \sigma < e^{-\hat{\omega}t}$ — условию $\operatorname{rot} \mathbf{H} = \frac{\hat{J}(t)}{\pi r_0 H_0} \mathbf{e}_z$.

ЗАКЛЮЧЕНИЕ

Предложена и исследована модель магнитной гидродинамики вихревого движения несжимаемой полимерной жидкости, являющаяся модификацией ранее рассмотренной нами модели [12]. Было показано, что в рамках данной модели магнитной гидродинамики не существует стационарной вихревой зоны. Также приведён вариант модели для свободной внешней границы приосевой зоны.

ЛИТЕРАТУРА

1. Oldroyd J. G. On the formulation of rheological equations of state // Proc R. Soc. 1950. V. 200. P. 523–541; <https://doi.org/10.1098/rspa.1950.0035>
2. De Gennes P. G. Scaling Concepts in Polymer Physics. Ithaca: Cornell Univ. Press, 1979.
3. Doi M., Edwards S. F. The Theory of Polymer Dynamics. Oxford: Clarendon, 1986.
4. Bird R. B., Curtiss C. F., Armstrong R. C., Hassager O. Dynamics of Polymeric Liquids. V. 2. N. Y.: Wiley, 1987.
5. Pokrovskii V. N. The Mesoscopic Theory of Polymer Dynamics. Dordrecht: Springer, 2010.
6. Алтухов Ю. А., Гусев А. С., Пышнограй Г. В. Введение в мезоскопическую теорию текучих полимерных систем. Барнаул: изд. АлтГПА, 2012.
7. Смутьский И. И. Аэродинамика и процессы в вихревых камерах. Новосибирск: Наука, 1992.
8. Lewellen W. S. A solution for three-dimensional vortex flows with strong circulation // J. Fluid Mech. 1962. V. 14, N 3. P. 420–432; <https://doi.org/10.1017/S0022112062001330>
9. Lin Yang, Jia-Lin Tian, Zhi Yang. Numerical analysis of non-Newtonian rheology effect on hydrocyclone flow field // Petroleum. 2015. V. 1, N 1. P. 68–74; <https://doi.org/10.1016/j.petlm.2015.05.001>
10. Chiou C. S., Gordon R. J. Vortex flow of dilute polymer solutions // Polym. Eng. Sci. 1980. V. 20, N 7. P. 456–465; <https://doi.org/10.1002/pen.760200704>
11. Borisevich V. D., Potanin E. P., Whichello J. Circulation control in magnetohydrodynamic rotating flows // J. Fluid Mech. 2017. V. 829. P. 328–344; <https://doi.org/10.1017/jfm.2017.568>
12. Блохин А. М., Семенко Р. Е. Об одной модели вихревого движения несжимаемой полимерной жидкости в приосевой зоне // Сиб. журн. индустр. математики. 2016. Т. 19, № 1. С. 52–61; <https://doi.org/10.17377/sibjim.2016.19.105>
13. Седов Л. И. Механика сплошной среды. Т. 1. М.: Наука, 1970.
14. Лойцянский Л. Г. Механика жидкости и газа. М.: Наука, 1978.
15. Ватажин А. Б., Любимов Г. А., Регирер С. А. Магнитогидродинамические течения в каналах. М.: Наука, 1970.
16. Бай Ши-И. Введение в теорию течения сжимаемой жидкости. М.: Изд-во иностр. лит., 1962.
17. Блохин А. М., Рудометова А. С. Стационарные течения слабопроводящей несжимаемой полимерной жидкости между соосными цилиндрами // Сиб. журн. индустр. математики. 2017. Т. 20, № 4. С. 13–21; <https://doi.org/10.17377/sibjim.2017.20.402>
18. Бамбаева Н. В., Блохин А. М. Стационарные решения уравнений несжимаемой вязкоупругой полимерной жидкости // Журн. вычисл. математики и мат. физики. 2014. Т. 54, № 5. С. 55–69; <https://doi.org/10.7868/S0044466914050068>
19. Ахиезер А. И., Ахиезер И. А. Электромагнетизм и электромагнитные волны. М.: Высш. школа, 1985.

20. Нордлинг К., Остерман Д. Справочник по физике для учёного и инженера. СПб.: БХВ-Петербург, 2011.
21. Губин А. Ю. Об устойчивости одного вихревого движения вязкой несжимаемой жидкости // Сиб. журн. индустр. математики. 2004. Т. 7, № 2. С. 40–53.
22. Ульянов О. Н. Об одном классе течений вязкой жидкости // Динамика жидкости и газа // Тр. ИММ УрО РАН. 2003. Т. 9, № 2. С. 129–136.
23. Калашников С. Г. Электричество. М.: Наука, 1964.
24. Ландау Л. Д., Лифшиц Е. М. Электродинамика сплошных сред. М.: Физматгиз, 1959.

UDC 517.956.3:532.135

**MAGNETOHYDRODYNAMIC VORTEX MOTION
OF AN INCOMPRESSIBLE POLYMERIC FLUID**© 2021 **A. M. Blokhin**, R. E. Semenko^a, A. S. Rudometova^b*Sobolev Institute of Mathematics SB RAS,
pr. Acad. Koptyuga 4, Novosibirsk 630090, Russia*E-mails: ^ar.semenko@g.nsu.ru, ^bbush@math.nsc.ru

Received 22.04.2020, revised 22.04.2020, accepted 15.10.2020

Abstract. Under consideration is some mathematical model describing magnetohydrodynamic motion of viscoelastic polymeric fluid in the cylindrical near-axial zone of a swirl chamber. The absence of steady-state solutions is proved for the cylindrical zone with a fixed lateral boundary. The solutions are also considered in the case of near-axial zone with a free lateral boundary.

Keywords: magnetohydrodynamics, rheological model, vortex motion.

DOI: 10.33048/SIBJIM.2021.24.101

REFERENCES

1. Oldroyd J.G. On the formulation of rheological equations of state. *Proc R. Soc.*, 1950, Vol. 200, pp. 523–541; <https://doi.org/10.1098/rspa.1950.0035>
2. De Gennes P.G. *Scaling Concepts in Polymer Physics*. Ithaca: Cornell Univ. Press, 1979.
3. Doi M., Edwards S.F. *The Theory of Polymer Dynamics*. Oxford: Clarendon, 1986.
4. Bird R.B., Curtiss C.F., Armstrong R.C., Hassager O. *Dynamics of Polymeric Liquids*. Vol. 2. N. Y.: Wiley, 1987.
5. Pokrovskii V.N. *The Mesoscopic Theory of Polymer Dynamics*. London: Springer-Verl., 2010.
6. Altukhov Yu.A., Gusev A.S., Pyshnograï G.V. *Vvedenie v mezoskopicheskuyu teoriyu tekuchikh polimernykh sistem [Introduction to the mesoscopic theory of fluid polymeric systems]*. Barnaul: izd. Altai. Gos. Ped. Akad., 2012 (in Russian).
7. Smul'skii I.I. *Aerodinamika i protsessy v vikhrevykh kamerakh [Aerodynamics and processes in vortex chambers]*. Novosibirsk: Nauka, 1992 (in Russian).
8. Lewellen W.S. A solution for three-dimensional vortex flows with strong circulation. *J. Fluid Mech.*, 1962, Vol. 14, No. 3, pp. 420–432; <https://doi.org/10.1017/S0022112062001330>
9. Yang L., Tian J.-L., Yang Zh. Numerical analysis of non-Newtonian rheology effect on hydrocyclone flow field. *Petroleum*, 2015, Vol. 1, No. 1, pp. 68–74; <https://doi.org/10.1016/j.petlm.2015.05.001>
10. Chiou C.S., Gordon R.J. Vortex flow of dilute polymer solutions. *Polym. Eng. Sci.*, 1980, Vol. 20, No. 7, pp. 456–465; <https://doi.org/10.1002/pen.760200704>
11. Borisevich V.D., Potanin E.P., Whichello J. Circulation control in magnetohydrodynamic rotating flows. *J. Fluid Mech.*, 2017, Vol. 829, pp. 328–344; <https://doi.org/10.1017/jfm.2017.568>
12. Blokhin A.M., Semenko R.E. On a model of vortex motion of an incompressible polymeric liquid in the axial zone. *J. Appl. Ind. Math.*, 2016, Vol. 10, No. 1, pp. 69–77; <https://doi.org/10.1134/S1990478916010087>

13. Sedov L.I. *Mechanics of Continuous Media*. Vol. 1. Singapore: World Scientific, 1997.
14. Loitsyanskii L.G. *Mechanics of Liquids and Gases*. Oxford: Stewartson Pergamon Press, 1966.
15. Vatazhin A.B., Lyubimov G.A., Regirer S.A. *Magnitogidrodinamicheskie techeniya v kanalakh* [Magnetic hydrodynamical flows in channels] (in Russian). Moscow: Nauka, 1970.
16. Shi-I B. *Vvedenie v teoriyu techeniya szhimaemoi zhidkosti* [Introduction to the theory of compressible fluid flow]. Moscow: Izd-vo Inostrannaya Literatura, 1962 (in Russian).
17. Blokhin A.M., Rudometova A.S. Stationary flows of a weakly conducting incompressible polymeric liquid between coaxial cylinders. *J. Appl. Ind. Math.*, 2017, Vol. 11, pp. 486–493; <https://doi.org/10.1134/S1990478917040044>
18. Bambaeva N.V., Blokhin A.M. Stationary solutions of equations of incompressible viscoelastic polymer liquid. *Comput. Math. and Math. Phys.*, 2014, Vol. 54, No. 5, pp. 874–899; <https://doi.org/10.1134/S0965542514050054>
19. Akhiezer A.I., Akhiezer I.A. *Elektromagnetizm i elektromagnitnye volny* [Electromagnetism and Electromagnetic Waves]. Moscow: Vysshaya Shkola, 1985 (in Russian).
20. Nordling K., Österman J. *Physics Handbook for Science and Engineering*. Lund: Studentlitteratur, 1999.
21. Gubin A.Yu. Ob ustoychivosti odnogo vikhrevogo dvizheniya vyazkoi neszhimaemoi zhidkosti [On Stability of a Vortex Motion of a Viscid Incompressible Fluid]. *Sib. Zhurn. Industr. Matematiki*, 2004, Vol. 7, No. 2, pp. 40–53 (in Russian).
22. Ul'yanov O.N. Ob odnom klasse techenii vyazkoi zhidkosti [On a Class of Flows of a Viscid Fluid]. *Dinamika Zhidkosti i Gaza. Trudy Inst. Mat. Mekh. Ural Otdel. RAN*, 2003, Vol. 9, No. 2, pp. 129–136 (in Russian).
23. Kalashnikov S.G. *Elektrichestvo* [Electricity]. Moscow: Nauka, 1964 (in Russian).
24. Landau L.D., Lifshits E.M. *Elektrodinamika sploshnykh sred* [Electrodynamics of Continuous Media]. Moscow: Fizmatgiz, 1959 (in Russian).